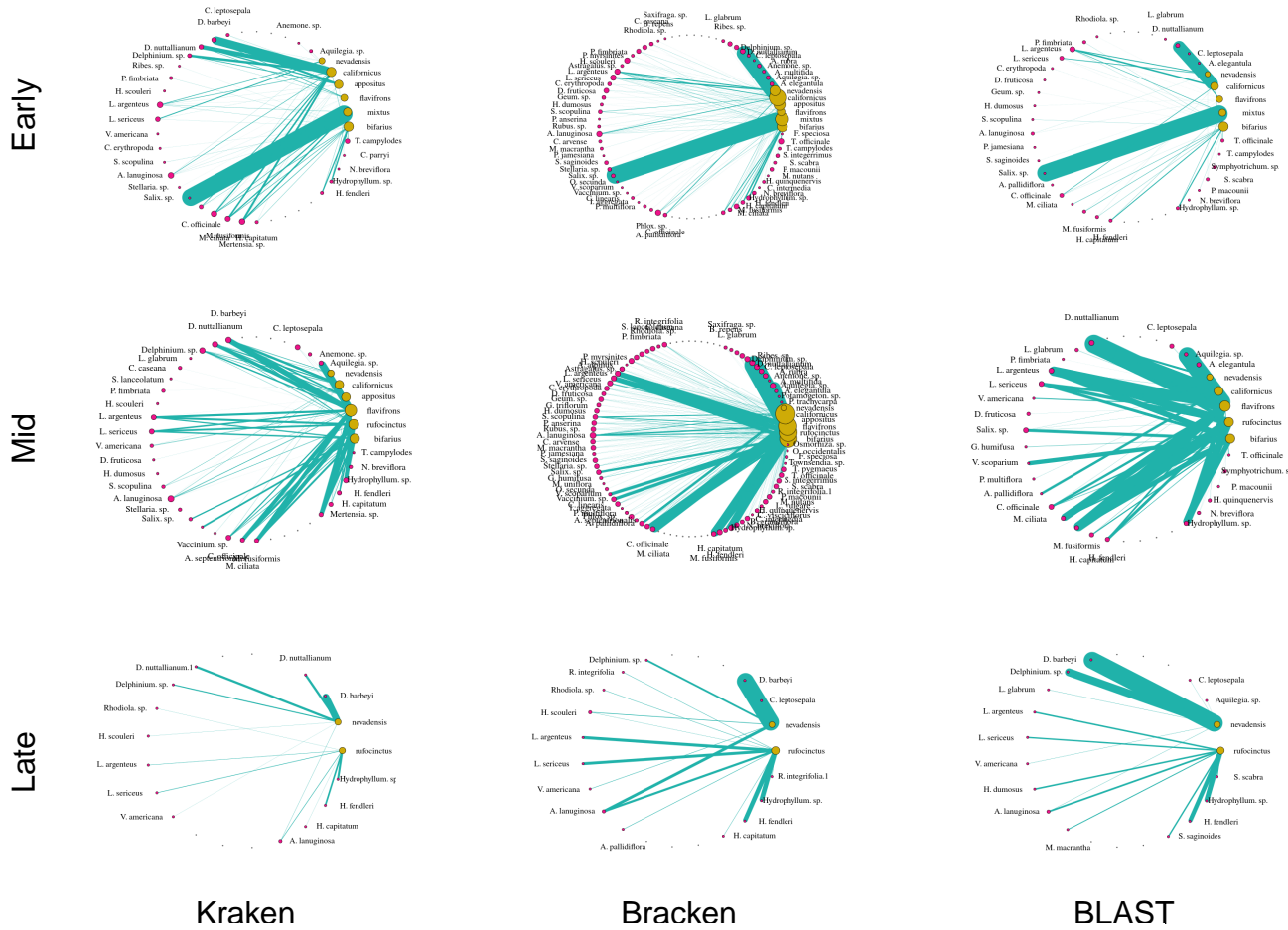


Comparison of Foraging Patterns from Three Sequence Alignment Algorithms



Calochortus gunnisonii
Erythronium grandiflorum
Prosartes trachycarpa
Aconitum columbianum
Aquilegia coerulea
Aquilegia elegans
Anemone multifida
Actaea rubra
Caltha leptosepala
Delphinium barbeyi
Delphinium nuttallianum
Thalictrum fendleri
Lithophragma glabrum
Berberis repens
Corydalis caseana
Rhodiola integrifolia

Sedum lanceolatum
Parnassia fimbriata
Paxistima myrsinites
Hypericum scouleri
Astragalus alpinus
Lathyrus leucanthus
Lupinus argenteus
Lupinus arvensis
Vicia americana
Crataegus erythropoda
Dasiphora fruticosa
Geum triflorum
Holodiscus dumosus
Sorbus scopulina
Potentilla anserina
Scherpherdia canadensis

Arenaria lanuginosa
Cirsium arvense
Minuartia macrantha
Pseudostellaria jamesiana
Sagina saginoides
Adenocaulum lewisii
Viola praemorsa
Claytonia lanceolata
Gaultheria humifusa
Moneses uniflora
Ornithoglossum
Vaccinium scoparium
Collomia linearis
P. myrsinites
Phlox multiflora
Androsace septentrionalis

Agastache pallidiflora
Cynoglossum officinale
Mertensia ciliata
Mertensia fusiformis
Hydrophyllum capitatum
Hydrophyllum fendleri
Nemophila breviflora
Campanula rotundifolia
Brikiella grandiflora
Cirsium parryi
Crepis intermedia
Chrysothamnus viscidiflorus
Dugaldia hoopesii
Erigeron speciosus
H. quinquevallis
Leucanthemum vulgare

Ligularia bigelovii
Microseris nutans
Pseudognaphalium macdonii
Rudbeckia integrifolia
Scabrethia scabra
Senecio integerimus
Valeriana occidentalis
Fraseria speciosa
Osmorhiza occidentalis

